

树拓扑片上网络的低能耗映射

常政威¹, 桑楠², 熊光泽²

(1. 四川电力试验研究院 成都 610072; 2. 电子科技大学计算机科学与工程学院 成都 610054)

【摘要】针对树拓扑片上网络(NoC)中通信时延受约束的低能耗映射问题,提出了一种递归的二路划分算法RPM(recursive bipartitioning for mapping)。RPM基于分而治之策略,首先将NoC映射转化为多层次的IP核通信任务图划分问题,并采用带参数的Kernighan-Lin算法实现最小割值划分。实验结果表明,与已有算法相比,RPM可以在较短的时间内获得能耗更低的映射解。通过设置不同的参数,RPM既可以用于生成高质量的优化解,也可用于快速的NoC设计空间探索中。

关键词 二路划分; 能耗优化; 映射; 片上网络; 树拓扑

中图分类号 TP302

文献标识码 A

doi:10.3969/j.issn.1001-0548.2010.04.029

Low Energy Mapping for Tree Based Networks-on-Chip

CHANG Zheng-wei¹, SANG Nan², and XIONG Guang-ze²

(1. Sichuan Electric Power Tests and Research Institute Chengdu 610072;

2. School of Computer Science and Engineering, University of Electronic Science and Technology of China Chengdu 610054)

Abstract A recursive bipartitioning algorithm, RPM, is proposed for low energy mapping in tree-based Network-on-Chip (NoC) architectures subject to communication latency constraints. The mapping problem is formulated to multi-level IP core communication task graph partitioning problems, and the modified Kernighan-Lin mincut heuristic is used to solve them. Experimental results show that RPM obtains lower energy mapping solutions compared with existing algorithms.

Key words bipartitioning; energy optimization; mapping; networks-on-chip; tree based topology

随着集成电路技术的快速发展,未来单个芯片上的晶体管数目将会达到数十亿个,包含几十个或上百个知识产权(intellectual property, IP)核的片上系统(system-on-chip, SoC)成为高性能嵌入式系统的发展趋势。为实现众多微处理器、DSP、存储器和I/O模块等IP核之间的高效数据通信,SoC迫切需要可扩展、高带宽和并行的通信架构。片上网络^[1](network-on-chip, NoC)是为解决深亚微米时代复杂的片上多核通信问题而出现的,是当前SoC及相关领域的一个研究热点。对于NoC而言,能耗已成为首要的优化因素之一。

映射是NoC设计中非常重要的一个步骤。在确定了SoC所选用的IP核之后,NoC映射将系统中用于计算和存储功能的所有IP核分配到给定网络拓扑中的不同路由器端口,在通信性能约束条件下,使目标函数(如通信能耗)最优。一般来说,对于包括 n 个IP核的SoC,共有个 $n!$ 个不同的映射^[2]。文献[3]指出NoC映射等同于受约束的二次分配问题,用分支限

界法求解带宽约束下的能耗最优NoC映射问题,与随机映射相比节省了约60%的通信能耗。为降低算法的求解时间,文献[3]还采用监控优先队列长度的启发式方法,不过是以提高NoC能耗为代价的。其他的低能耗NoC映射算法见文献[4-6]。

由于二维Mesh具有简单直观、易于芯片平面布局等特点,在已有的NoC映射算法中^[3-6],大都采用此类网络拓扑。但是,网格类的拓扑结构主要适用于通用的、包括许多同构处理核的多核或众核CPU架构。嵌入式系统具有专用性,组成SoC的各IP核通常是异构的,在通信需求上也是不对称的,需要采用其他更适合的网络拓扑。

与已有的研究工作不同,本文主要解决基于树拓扑的低能耗NoC映射问题。与二维Mesh相比,树更适合于呈现出通信不对称和流量局部性的SoC^[7-8],如SPIN^[9]。并且,与其他网络拓扑相比,树在硬件资源上是最有效的^[7-8]。另一方面,树已用于实现层次化NoC中的子网^[10],子网内的NoC映射处于NoC

收稿日期: 2008-11-17; 修回日期: 2009-04-13

基金项目: 国家863项目(2006AA01Z173, 2007AA01Z131)

作者简介: 常政威(1981-), 男, 博士, 主要从事嵌入式实时系统、设计自动化及低能耗设计方面的研究。

体系结构设计步骤的内层, 在设计和优化过程中需要多次调用, 更需要高效的优化算法。

本文面向对通信时延有严格要求的实时SoC应用和基于树的NoC拓扑, 定义了能量感知的NoC映射问题, 并提出了一种采用递归二路划分的求解算法。实验结果表明, 本文算法优于已有的分支限界算法, 并具有较很快的运行速度。

1 NoC映射问题

本节首先定义基于完全二叉树的NoC拓扑结构及其相关的能耗模型, 然后给出NoC映射问题的形式化定义。需要说明的是, 虽然本文中的NoC映射问题采用二叉树拓扑, 但对于多叉树、胖树^[9]等稍做调整也能适用。

1.1 NoC拓扑简介

如图1所示, 设NoC的拓扑结构为一棵完全二叉树, 包括 $n=2^h$ 个叶子节点和 $n-1$ 个内节点。叶子是用于计算和存储的处理节点, 每个处理节点可放置一个IP核。其余的内节点是用于通信的路由器, 路由器之间通过链路连接。

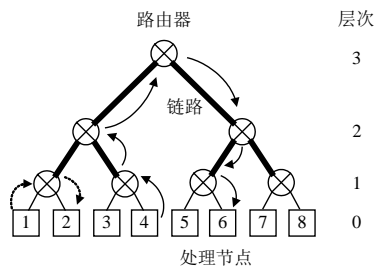


图1 二叉树NoC拓扑

树内的节点是分层次组织的。具体来说, 叶子节点位于第0层, 根节点位于最高层即第 h 层。例如, 图1中包括8个处理节点, $h=3$ 。除根节点外, 每个位于第 i 层的路由器分别连接至第 $i+1$ 层的父节点, 以及两个 $i-1$ 层的孩子节点。

网络内的路由非常简单, 来自处理节点的通信数据首先向相连接的路由器即它的父节点转发, 当路由器节点收到一个数据包时, 若该数据包的目的节点位于它的子树中, 则向下层中相应的孩子节点转发, 否则继续向其父节点转发, 数据包会从叶子节点开始, 不断向上一层的路由器转发, 然后在某个路由器节点改变传输方向, 逐步向下传输至另一个叶子节点。

因此, 任意两个处理节点之间的最短路径所经过的路由器是完全相同的。本文对每条路由路径也定义一个层次level, 表示路径中唯一的一个层次最

高的路由器的层次。

例如, 在图1中, 编号为1和2的处理节点之间通信, 只需要通过位于第1层的一个路由器, 该路径的层次为1。而对于编号为4和6的处理节点之间的通信, 则必须通过根节点, 路径的层次为3。

显然, 层次为level的路径中包括 $(2\text{level}-1)$ 个路由器, 即路由距离为 $(2\text{level}-1)$ hops。

1.2 能耗模型

当数据包在NoC中传递时, 路由器和链路都会产生动态能耗。首先考虑两个兄弟叶子节点之间的通信, 例如图1中的节点1和2, 路由路径的层次为1, 沿该类路径传递1 bit数据平均消耗的能量为:

$$E_1 = E_{R_{\text{bit}}} \quad (1)$$

式中 $E_{R_{\text{bit}}}$ 表示单个路由器传输1 bit数据的平均动态能耗^[3]。

一般来说, 通过层次为level的路由路径传递1 bit数据平均消耗的能量 E_{level} 为:

$$E_{\text{level}} = E_{R_{\text{bit}}} + 2E_{L_{\text{bit}}} + 2E_{\text{level}-1} = (2\text{level}-1)E_{R_{\text{bit}}} + 2(\text{level}-1)E_{L_{\text{bit}}} \quad (2)$$

式中 $E_{L_{\text{bit}}}$ 表示单条链路传输1 bit数据的平均动态能耗^[3]。因此, 两个节点间的通信流量保持不变时, 对应的路由路径层次越高, 耗费的能量也越多。

1.3 NoC映射问题定义

如图2所示, NoC映射就是将IP核通信任务图中的每一个IP核分配至NoC拓扑中唯一的一个处理节点, 使其与某一个路由器端口直接连接, 在满足通信任务图中每个通信任务时延约束的条件下, 使得NoC通信能耗最小。

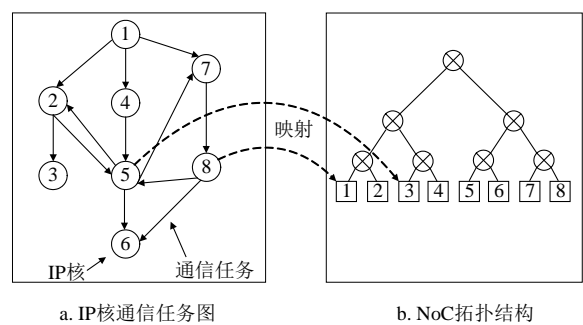


图2 NoC映射问题

本文对NoC映射作如下形式化的定义。

定义 1 IP核通信任务有向图CTG(C, A)中, 每个顶点 $c_i \in C$ 表示一个IP核; 每条有向边 $a_{ij} \in A$ 表示从 c_i 到 c_j 的通信任务; 权重 $v(a_{ij})$ 表示通信任务 a_{ij} 的数据流量, 单位为bit; 权重 $t(a_{ij})$ 表示通信任务 a_{ij} 允许的最大传输时延, 用hops表示。

定义 2 NoC体系结构有向完全图 $NAG(R, P)$ 中, 每个顶点 $r_i \in R$ 表示一个处理节点; 每条有向边 $p_{ij} \in P$ 表示从节点 r_i 到节点 r_j 的路由路径; $l(p_{ij})$ 是路径 p_{ij} 的层次; $d(p_{ij})$ 表示节点 r_i 与节点 r_j 间的路由距离, 用hops表示, 且 $d(p_{ij}) = 2l(p_{ij}) - 1$ 。

给定IP核通信任务图CTG和NoC体系结构图NAG, 且有 $|C|=|R|$, 通信时延受约束的低能耗NoC映射问题(简称为NoC映射)就是要寻求一个一一映射:

$$\phi: C \rightarrow R \Rightarrow r_i = \phi(c_i), \forall c_i \in C, \exists r_i \in R, \forall c_i \neq c_j \in C, \phi(c_i) \neq \phi(c_j)$$

使NoC通信能耗最优为:

$$\min \left\{ E(\phi) = \sum_{\forall a_{ij} \in A} (E_{l(p_{\phi(c_i), \phi(c_j)})} \times v(a_{ij})) \right\} \quad (3)$$

$$\text{s.t.} \quad \forall a_{ij} \in A, t(a_{ij}) \geq d(p_{\phi(c_i), \phi(c_j)}) \quad (4)$$

式(4)表示任意通信任务的时延必须得到满足。

2 NoC映射算法

在已有的映射算法中, 大都将NoC映射看作二次分配问题^[3-6], 用相应的启发式或智能优化算法求解, 效率较低。针对树拓扑NoC映射的特点, 本文将其转化为IP核通信任务图的划分问题, 基于分而治之的求解策略, 采用一种递归的二路划分算法, 不断地将通信任务图的子图分配到NoC拓扑的子树中, 直到任务图中只包括两个IP核且对应的子树中只包含一个路由器, 最终将每个IP核映射到唯一的处理节点。

2.1 将NoC映射转化为划分问题

由式(3)可将NoC映射的目标函数转化为:

$$E(\phi) = \sum_{\text{level}=1}^h \left(E_{\text{level}} \times \left(\sum_{\forall a_{ij} \in A \wedge (l(p_{\phi(c_i), \phi(c_j)}) = \text{level}} v(a_{ij})) \right) \right) \quad (5)$$

因此, 优化NoC通信能耗 $E(\phi)$ 只需要减少不同层次路由路径上的累积通信流量, 尤其是减少高层次路径上的通信流量。

2.1.1 最小割划分

下面介绍IP核通信任务图CTG和NoC体系结构图NAG如何在不同层次上进行划分, 并最小化划分间的割值(通信流量), 达到优化通信能耗的目的。

令 $NAG_1 = NAG$, $n = |R|$ 为NAG中的处理节点数, 则 $h = \log_2 |R|$ 为P中所有路由路径的最高层次。按如下规则得到NAG的 $n-1$ 个子图($NAG_1, NAG_2, \dots, NAG_{n-1}$)。

规则 1 NAG_{2k} 和 NAG_{2k+1} 是 NAG_k ($1 \leq k \leq n/2-1$) 的一个平衡二路划分, 即 $R_k = R_{2k} \cup R_{2k+1}$, $R_{2k} \cap R_{2k+1} = \Phi$ 。

规则 2 P_{2k} 和 P_{2k+1} 中路由路径的最高层次为 $h - \lfloor \log_2 k \rfloor - 1$, R_{2k} 和 R_{2k+1} 间的路由路径的层次均为 $h - \lfloor \log_2 k \rfloor$ 。

因此, NAG_{2k} 和 NAG_{2k+1} 恰好是 NAG_k 所对应NoC的两棵子树的拓扑图。NAG的 $n-1$ 个子图对应于 $n-1$ 个子网, NAG_k 是一个层次为 $h - \lfloor \log_2 k \rfloor$ 的完全二叉树, R_{2k} 和 R_{2k+1} 间的路由距离为 $2(h - \lfloor \log_2 k \rfloor) - 1$ hops。

2.1.2 NoC映射的转化

令 $CTG_1 = CTG$, 则NoC映射可以转化为下面的 $n/2-1$ 个划分问题。

将 CTG_k 划分为两个相等的子图 CTG_{2k} 和 CTG_{2k+1} , 即 $C_k = C_{2k} \cup C_{2k+1}$, $C_{2k} \cap C_{2k+1} = \Phi$; 且将 CTG_k 映射至 NAG_k , 即 $\forall c_i \in C_k, \phi(c_i) \in R_k$; 并使得两个划分间的通信流量之和即割值 Cut_k 最小为:

$$\min \left\{ Cut_k = \sum_{\forall c_i \in C_{2k}, \forall c_j \in C_{2k+1}} v(a_{ij}) \right\} \quad k = 1, 2, \dots, \frac{1}{2}n - 1 \quad (6)$$

$$\text{s.t.} \quad \forall c_i \in C_{2k} \wedge c_j \in C_{2k+1}, t(a_{ij}) \geq 2(h - \lfloor \log_2 k \rfloor) - 1 \quad (7)$$

最终, 对于包括两个IP核的 CTG_k ($n/2 \leq k \leq n-1$), 只需要将它们一一映射至 NAG_k 的两个处理节点, Cut_k 即为两个IP核间的通信流量。

映射完成后, NoC通信能耗为:

$$E(\phi) = \sum_{\text{level}=1}^h \left(E_{\text{level}} \times \sum_{k=2^{h-\text{level}}}^{2^{h-\text{level}+1}-1} Cut_k \right) \quad (8)$$

2.2 递归二路划分算法

图的划分本身也是NP hard问题, 由于在NoC映射过程中要不断地进行任务图的划分, 必须采用高效的二路划分算法, 并且在划分过程中需考虑通信任务的时延约束。

2.2.1 最小割划分的实现

文献[11]提出了一个用于图的最小割二路划分算法, 以下简称KL。KL最初来源于电路划分问题, 用于将电路网表划分为相等的两个部分, 以最小化它们之间的连线数量, 即割值。

本文使用的最小割划分基于KL实现。在划分 CTG_k 时, 首先将 C_k 中的IP核随机分为两个集合, 如前面所述, 将割值定义为两个集合间的通信任务的流量之和。

根据问题的特点,还对KL作如下改进。

(1) 对CTG_k进行划分时,由于NAG_{2k}和NAG_{2k+1}之间的通信时延为 $2(h - \lfloor \log_2 k \rfloor) - 1$,对于通信任务 $a_{ij} \in A_k$,若 $t(a_{ij}) < 2(h - \lfloor \log_2 k \rfloor) - 1$,则 c_i 与 c_j 必须位于同一个划分中,为此将 c_i 与 c_j 聚簇,看作一个超IP,一个超IP中可能会包括多于2个的IP核。在KL的实现中,一个超节点作为一次移动的基本单位,其内部包括的IP核不能被单独移动。

(2) 由于超节点的存在,节点在两个划分之间的移动采用单向移动,在KL一次迭代的中间步骤,两个划分可能不再保持平衡。解决办法是,若最大的超IP中包括 m 个IP核,则两个划分的大小最多只能相差 m ,但一次迭代结束后仍然选择平衡的划分状态。

2.2.2 映射算法的实现

由于KL是从一个随机的划分开始,由以上最小割迭代过程获得的解可能会较差。另外,划分所处的层次越高,割值对NoC通信能耗的影响也越大,而且子图的规模也越大。基于以上观察,可以根据不同的层次,改变调用基于KL的最小割划分过程的次数。

定义如下重启函数:

$$\text{runs}(\text{level}, \text{rt}) = \text{level}^{\text{rt}}, \quad \text{rt} = 0, 1, 2, \dots \quad (9)$$

式中 $\text{level} = h - \lfloor \log_2 k \rfloor$ 是CTG_k映射到的子网NAG_k的层次, rt 是用于实现运行时间与求解质量折中的参数。 $\text{runs}(\text{level}, \text{rt})$ 用于控制对CTG_k调用最小割划分的次数,当 rt 不变时, level 越大,则 $\text{runs}(\text{level}, \text{rt})$ 的值也越大。

算法1给出了求解NoC映射的递归二路划分算法,称为RPM(recursive bipartitioning for mapping)。输入CTG、NAG和 rt , RPM得到映射函数 ϕ 及 $n-1$ 个割值 Cut_k ,对应的NoC通信能耗可以由式(8)计算。

算法 1 RPM

输入: CTG_k、NAG_k、 rt ;

输出: ϕ 、 Cut_k 。

$\text{level} = \log_2 \lfloor R_k \rfloor - \lfloor \log_2 k \rfloor$; //NAG_k 的层次为 level

if ($\text{level} == 1$) {

/*将 C_k 中两个 IP 核映射到 R_k 的节点中*/

$\phi(C_k) = R_k$;

$\text{Cut}_k = v(A_k)$; // $v(A_k)$ 为 A_k 内的通信流量

return;

/*根据 NAG_k 得到 NAG_{2k} 和 NAG_{2k+1}

(NAG_{2k}, NAG_{2k+1}) = subtree(NAG_k); // 根据

NAG_k 得到 NAG_{2k} 和 NAG_{2k+1}

CCTG_k = cluster(CTG_k); //根据时延约束聚簇

$\text{Cut}_k = \text{mincut}(\text{CCTG}_k)$; //调用最小割过程 KL

/*返回割值最优的划分 CTG_{2k} 和 CTG_{2k+1}*/

for round=2 to runs(level,rt) {

if ($\text{Cut}_k < \text{mincut}(\text{CCTG}_k)$)

$\text{Cut}_k = \text{mincut}(\text{CCTG}_k)$

/*递归调用 RPM*/

RPM(CTG_{2k}, NAG_{2k}, rt);

RPM(CTG_{2k+1}, NAG_{2k+1}, rt);

return;

当 $\text{level} = 1$ 时, RPM算法中第2~7行时间复杂度为 $O(1)$ 。当 $\text{level} > 1$ 时,第8行subtree(NAG_k)只需要遍历 P_k 中的所有路由路径,生成两个NoC体系结构子图NAG_{2k}和NAG_{2k+1},时间复杂度为 $O(|R_k|^2)$;第9行聚簇过程cluster(CTG_k)需要遍历 A_k 中的所有通信任务,将相应通信时延约束较强的多个IP核标记为一个超IP,时间复杂度为 $O(|C_k|^2)$;基于KL的最小割划分过程mincut(CCTG_k)的时间复杂度为 $O(|C_k|^3)^{[11]}$,在10~14行共执行 $(\log_2 n - \lfloor \log_2 k \rfloor)^{\text{rt}}$ 次,其中 $R_k = C_k = 2^{h - \lfloor \log_2 k \rfloor}$, $n = |R|$ 。最终,可得到递归的RPM算法的时间复杂度为 $O(n^3 \log^{\text{rt}} n)^{[12]}$ 。

3 实验结果

为验证本文算法的有效性,将其应用于不同类型和规模的NoC映射问题中。算法用C++编写,基于Intel P IV 2.6 GHz处理器,在Windows 2 000操作系统下运行。RPM的参数 rt 分别取0、1和2,3种不同的算法实现简记为RPM_{rt},即RPM₀、RPM₁和RPM₂。

实验中使用的IP核通信任务图来源有:(1)视频/音频应用^[3]部分,H263编码器(8核),H263编码器&MP3编/解码器(16核),对应的通信任务图见文献[6];(2)包括32和64个IP核的随机应用部分,分别将以上通信任务图映射到包括相同处理节点的NoC平台中。

用RPM_{rt}和启发式分支限界(branch-and-bound, BB)^[3]算法分别求解4个不同规模的NoC映射问题。对于同一个问题, rt 较大的RPM_{rt}内部调用KL的次数较多,需要更多的CPU运算时间。为公平起见,对每个求解问题,BB的运行时间不少于RPM₂。

与BB相比,RPM_{rt}的能耗优化结果如表1所示。对于包括8个IP核的NoC应用,所有算法的结果基本相同。但随着问题规模的增加, rt 值越大的RPM_{rt}优势越明显。当IP核的个数大于16时,即使RPM₀也优

于BB。对于64个IP核的NoC应用, RPM_0 、 RPM_1 和 RPM_2 与BB相比, 分别节能7%、11%和16%。

表1 RPM_{rt} 的能耗优化结果比较

IP核数目	$\frac{RPM_0}{BB} /(\%)$	$\frac{RPM_1}{BB} /(\%)$	$\frac{RPM_2}{BB} /(\%)$
8	100.0	100.0	100.0
16	99.9	99.9	97.8
32	96.1	91.8	91.8
64	92.8	89.1	84.0

不同参数的RPM算法求解各问题的运行时间如图3所示。RPM的速度非常快, 对于规模为64的映射问题, RPM_2 只需要不到0.5 s的求解时间。

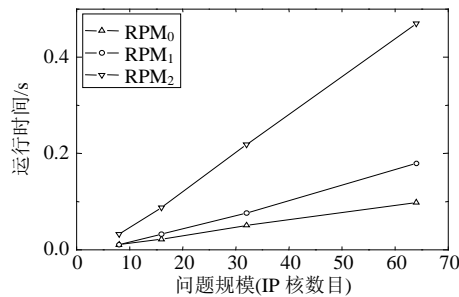


图3 RPM_{rt} 的运行时间

另外, 从表1和图3中可以看出RPM算法求解质量与运行时间之间的关系。参数 rt 较大的RPM的优化结果最好, 但比较耗时, 对于大规模的NoC映射问题, 可以采用 RPM_2 以获得高质量的解。虽然 RPM_0 的结果相对较差, 但其运行最快, 而且对于小规模问题, 其性能与 RPM_1 、 RPM_2 相当。因此, RPM_0 可以嵌套在层次化NoC的子网映射或其他IP核选择、任务指派等设计步骤内部, 用于快速地设计空间探索。

4 结 论

针对通信时延约束的低能耗树拓扑NoC映射问题, 提出一种高效的求解算法RPM。实验结果表明, RPM可以在较短的运行时间内获得性能优异的NoC映射解, 既可用于获得高质量的优化结果, 也可用于NoC设计空间探索的快速内部迭代。

本文的讨论主要限于二叉树NoC拓扑, 但对于 m 叉树($m>2$), 文中的算法仍然适用。在该类情况下, RPM算法中的最小割过程采用多路划分, 仍然可以基于KL实现通信任务图的 m 路划分^[11]。

参 考 文 献

- [1] ATIENZA D, ANGIOLINI F, MURALI S, et al. Network-on-chip design and synthesis outlook[J]. Integration, the VLSI Journal, 2008, 41(3): 340-359.
- [2] MARCON C A M, MORENO E I, CALAZANS N L V, et al. Comparison of network-on-chip mapping algorithms targeting low energy consumption[J]. IET Computers & Digital Techniques, 2008, 2(6): 471-482.
- [3] HU J, MARCULESCU R. Energy-aware mapping for tile-based NoC architectures under performance constraints [C]//Proceedings of the Conference on Asia South Pacific Design Automation. New York, USA: ACM Press, 2003: 233- 239.
- [4] MARCON C A M, MORENO E I, CALAZANS N L V, et al. Comparison of network-on-chip mapping algorithms targeting low energy consumption[J]. IET Computers & Digital Techniques, 2008, 2(6): 471-482.
- [5] 杨盛光, 李 丽, 高明伦, 等. 面向能耗和延时的NoC映射方法[J]. 电子学报, 2008, 36(5): 937-942.
YANG Sheng-guang, LI Li, GAO Ming-lun, et al. An energy- and delay-aware mapping method of NoC[J]. acta electronica sinica, 2008, 36(5): 937-942.
- [6] 常政威, 谢晓娜, 桑 楠, 等. 片上网络映射问题的改进禁忌搜索算法[J]. 计算机辅助设计与图形学学报, 2008, 20(2): 155-160.
CHANG Zheng-wei, XIE Xiao-na, SANG Nan, et al. An Improved Tabu Search Algorithm for Network-on-Chip Mapping[J]. Journal of CAD & CG, 2008, 20(2), 155-160.
- [7] GRECU C, JONES M. Performance evaluation and design trade-offs for network-on-chip interconnect architectures[J]. IEEE Transactions on Computers, 2005, 54(8): 1025-1040.
- [8] CHANG K C, CHEN T F. Low-power algorithm for automatic topology generation for application-specific networks on chips[J]. IET Computers & Digital Techniques, 2008, 2(3): 239-249.
- [9] GUERRIER P, GREINER A. A generic architecture for on-chip packet-switched interconnections[C]//Proceedings of the Conference on Design, Automation and Test in Europe. Washington, D C, USA: IEEE Computer Society, 2000: 250- 256.
- [10] HOLLSTEIN T, GLESNER M. Advanced hardware/software co-design on reconfigurable network-on-chip based hyper-platforms[J]. Computers & Electrical Engineering, 2007, 33(4): 310-319.
- [11] KERNIGHAN B W, LIN S. An efficient heuristic procedure for partitioning graphs[J]. Bell System Technical Journal, 1970, 49(2): 291-307.
- [12] CORMAN T H, LEISERSON C E, RIVEST R L. Introduction to algorithms[M]. Cambridge: MIT Press, 2001.

编辑 蒋 晓